

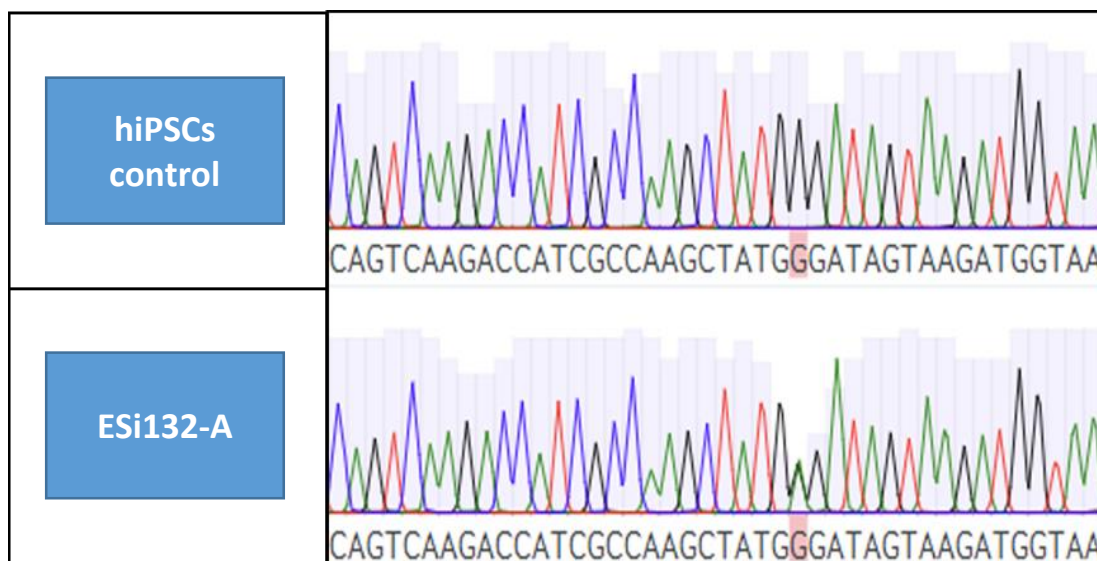
## ANEXO 1

### Información genética de la línea PRPF3181-MiPS4F5.

*Genetic information:*

The peripheral blood mononuclear cells (PBMCs) were isolated from the blood of an adult female donor diagnosed with retinitis pigmentosa and carrying a heterozygous mutation of type c.165G>A on the gene PRPF31.

DNA from iPSCs was extracted using the QIAamp DNA Blood Mini Kit (Qiagen). The primers used for amplification and Sanger sequencing of the genomic region surrounding the mutation sites are



**DISENM\_015629.4(PRPF31):c.165G>A (p.Trp55Ter)**

## ANEXO 2

### Cariotipo/bandeo G Caryotype/ G-banding

**Trabajo realizado por el Biobanco de SSPA, nodo de Granada.  
Diagnóstico citogenético: Línea celular compatible con un cariotipo femenino normal.**

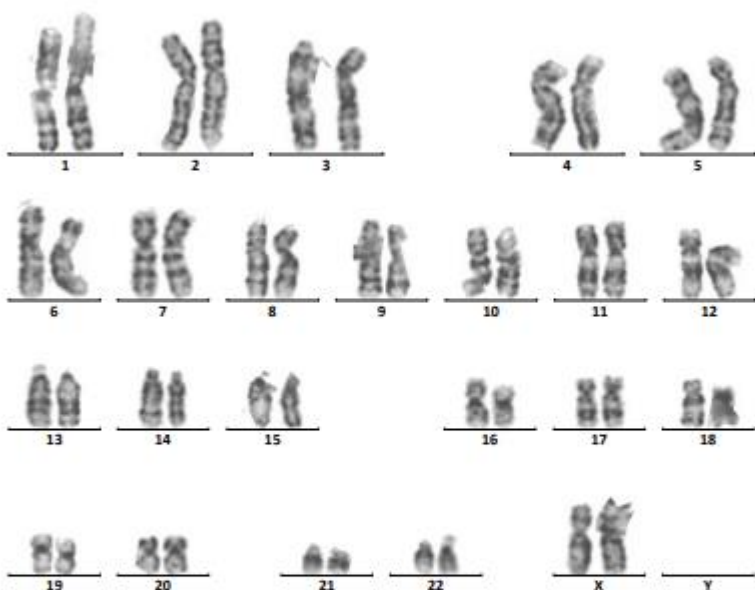
*Results provided by SSPA Biobank of Granada. Cytogenetic diagnostic:  
Cell line compatible with a normal female caryotype.*



Código de Biobanco: INVN02523B833CRMA000  
Código de origen: HFF1\* DTS 81 P13  
Petición de servicio: S2300022

Fecha de entrada: 25/05/23  
Tipo de muestra: Línea celular  
Técnica: Bandas G

#### RESULTADOS ANÁLISIS CITOGENÉTICO



Cariotipo: 46,XX

Diagnóstico citogenético: Línea celular compatible con cariotipo femenino normal.

Comentarios cariotipo: El resultado del estudio está limitado por la sensibilidad de la técnica.

## **ANEXO 3**

### **Análisis STR**

*Fingerprint analysis*

**Trabajo realizado en el Biobanco del SSPA, nodo de Granada, a partir de muestras de ADN genómico de la línea celular PRPF3181-MiPS4F5 y de las células primarias de una muestra de sangre.**

*Results provided by the SSPA Biobank of Granada from genomic DNA sample from both primary cells (blood) and PRPF3181-MiPS4F5*



v.06 Fecha alta: 17/10/2022

| Código origen del ADN de la línea celular | INVN02523A884ADNA002 | INVN02523A885ADNA002    |
|---|----------------------|-------------------------|
| Línea celular                             | SIRT-RETINA-P0001    | DTS81 C.1 HFF-IPSCs P13 |
| D8S1179                                   | 10, 13               | 10, 13                  |
| D21S11                                    | 30, 31               | 30, 31                  |
| D7S820                                    | 9, 11                | 9, 11                   |
| CSP1PO                                    | 11, 12               | 11, 12                  |
| D3S1358                                   | 14, 18               | 14, 18                  |
| TH01                                      | 7, 9                 | 7, 9                    |
| D13S317                                   | 11                   | 11                      |
| D16S539                                   | 11, 12               | 11, 12                  |
| D2S1338                                   | 17                   | 17                      |
| D19S433                                   | 12, 15.2             | 12, 15.2                |
| vWA                                       | 16, 18               | 16, 18                  |
| TPOX                                      | 10, 11               | 10, 11                  |
| D18S51                                    | 13, 14               | 13, 14                  |
| AMEL                                      | X, X                 | X, X                    |
| D5S818                                    | 11, 12               | 11, 12                  |
| FGA                                       | 21                   | 21                      |

## **ANEXO 4**

### **Análisis silenciamiento**

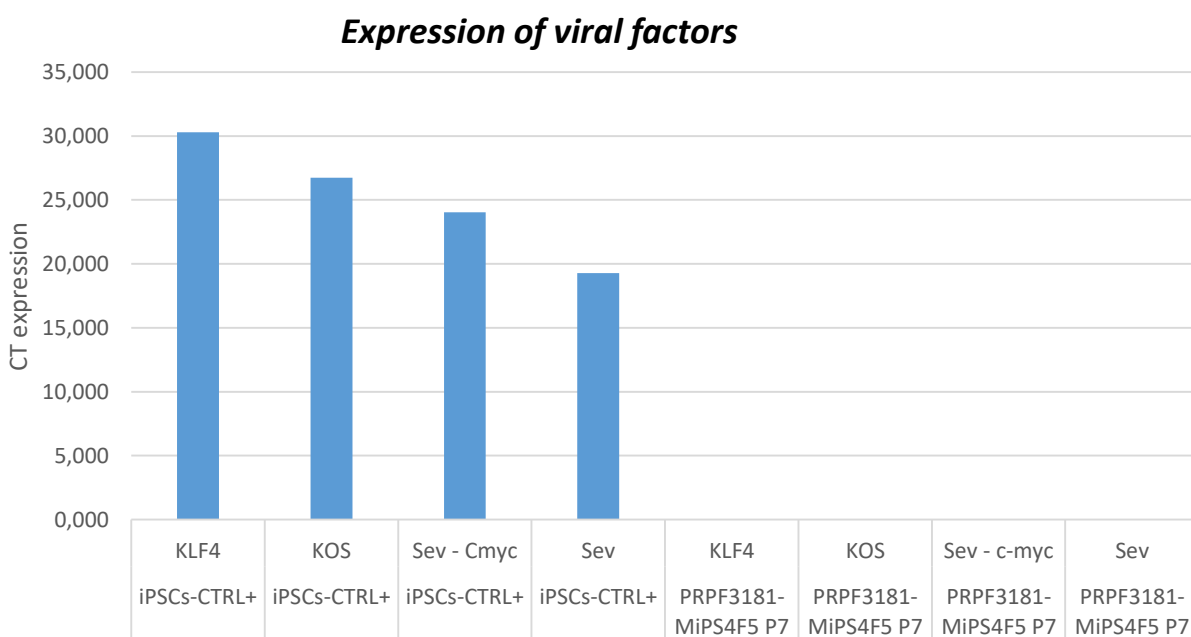
*Viral silencing analysis*

**Q-RT-PCR para detectar factores de reprogramación ectópicos y gen que codifica la cápside del virus.**

**Se muestra expresión de factores del virus en línea PRPF3181-MiPS4F5 en pase 2 (P2) como control positivo, y ausencia de expresión a pase 8 (P8).**

*Q-rtPCR performed to detect ectopic reprogramming factors and gene encoding the virus capsid. Expression of viral factors is shown in línea PRPF3181-MiPS4F5 at passage 2 (P2) as positive control, and absence of expression at passage 8 (P8). Samples for reaction were prepared with TaqMan Gene expression Master Mix and TaqMan probes.*

|                       |
|-----------------------|
| SeV: Mr04269880_mr.   |
| KOS: Mr04421257_mr.   |
| Klf4: Mr04421256_mr.  |
| c-Myc: Mr04269876_mr. |

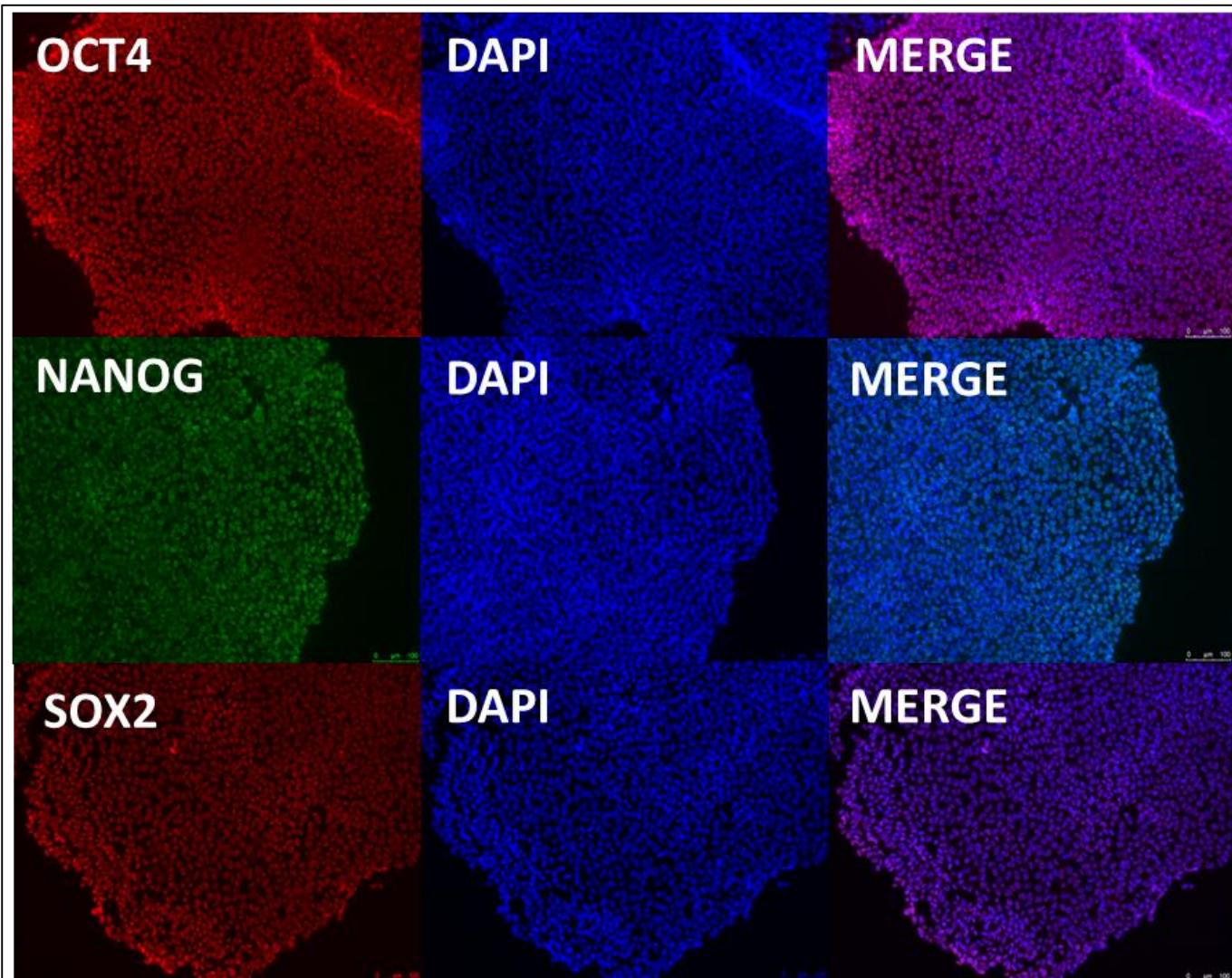


## ANEXO 5

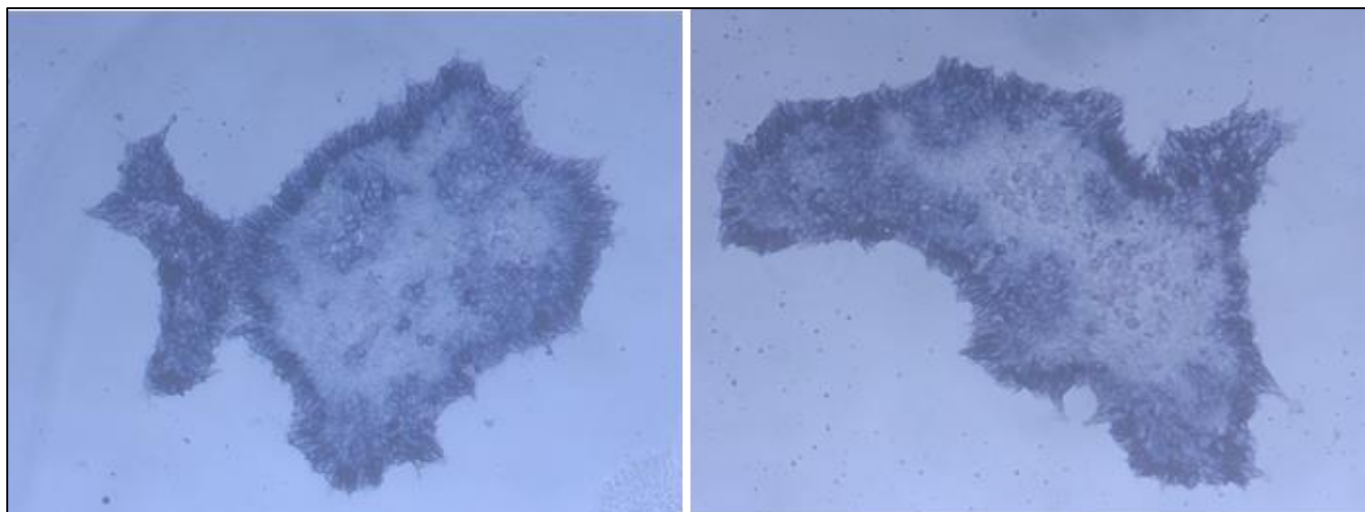
Inmunofluorescencia para marcadores de pluripotencia de expresión nuclear.  
Anticuerpo específico en rojo, ADN marcado con DAPI, merge en violeta para la co-localización de ambos marcadores. Actividad fosfatasa alcalina en azul.

Immunofluorescence for pluripotency markers of nuclear expression. Specific antibody in red, DAPI-labeled DNA, merge in violet for co-localization of both markers. Alkaline phosphatase activity in blue.

PRPF3181-MiPS4F5 P9



PRPF3181-MiPS4F5 P9

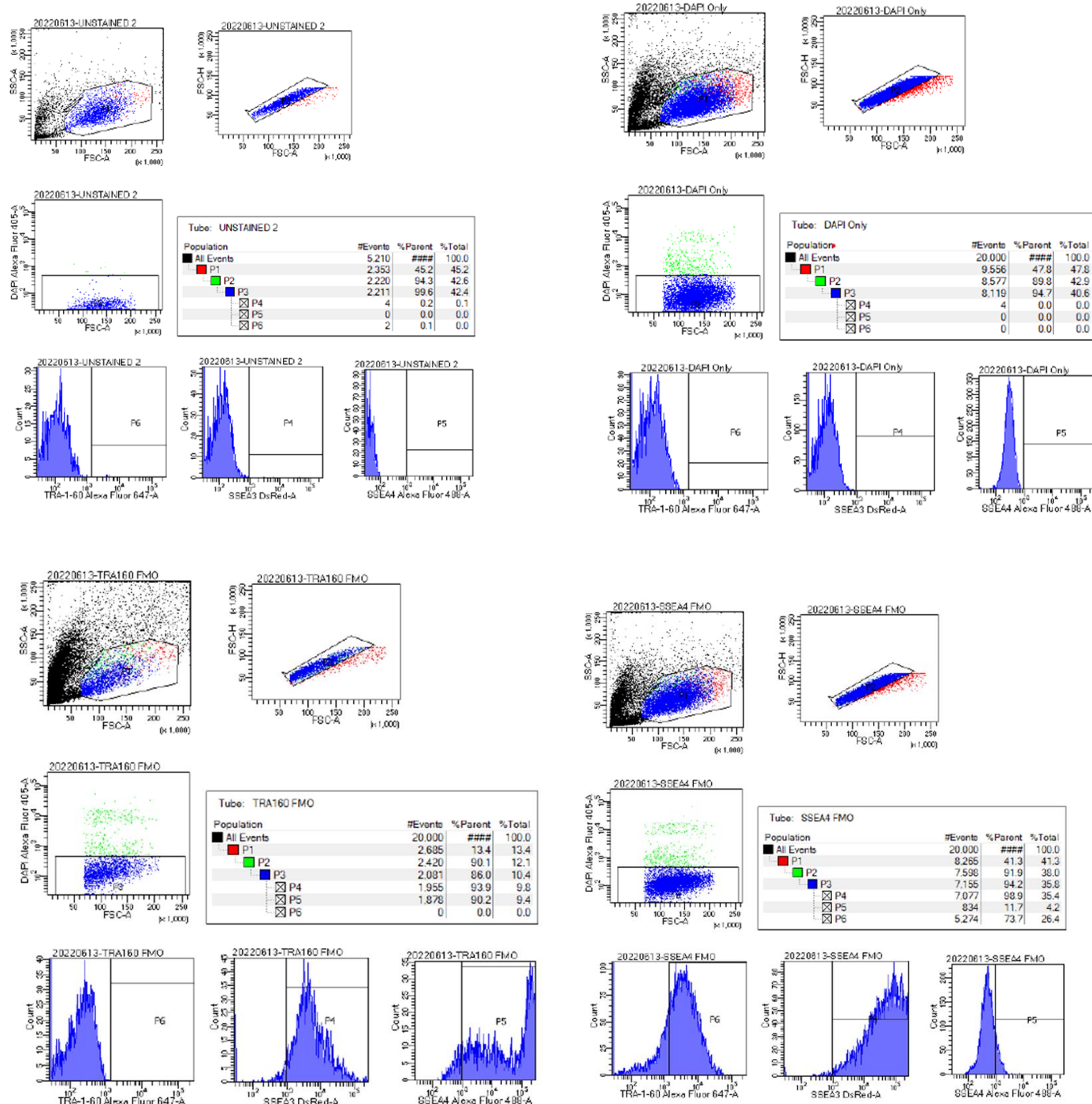


## ANEXO 6

### Citometría para marcadores de pluripotencia de expresión de superficie.

Anticuerpos: SSEA-3, SEEA-4 y TRA-1-60.

*Cytometry for surface expression markers of pluripotency. Antibodies: SSEA-3, SEEA-4 and TRA-1-60.*



## **ANEXO 7**

**Evaluación por citometría de flujo de marcadores de pluripotencia: SSEA3,**

**SSEA4 y TRA-1-60**

*Flow cytometry evaluation of three pluripotency markers:SSEA3, SSEA4 y TRA-1-60*

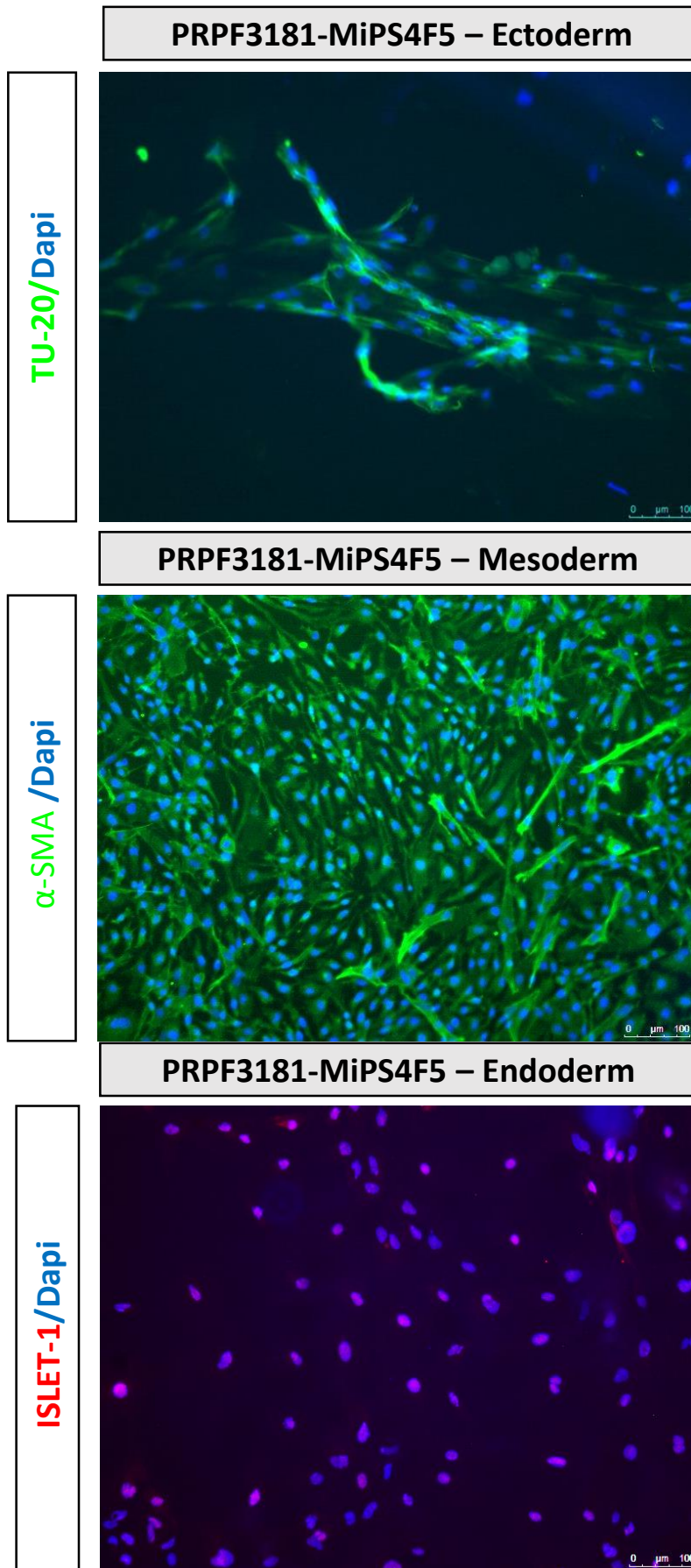
**PRPF3181-MiPS4F5 – P8**



## ANEXO 8

Diferenciación *in vitro*: inmunofluorescencia de marcadores de las tres capas embrionarias en cuerpos embrionarios: Endodermo, AFP, Alpha-fetoprotein; Ectodermo, PAX6, Paired box protein Pax-6; Mesodermo, SMA, smooth muscle actin.

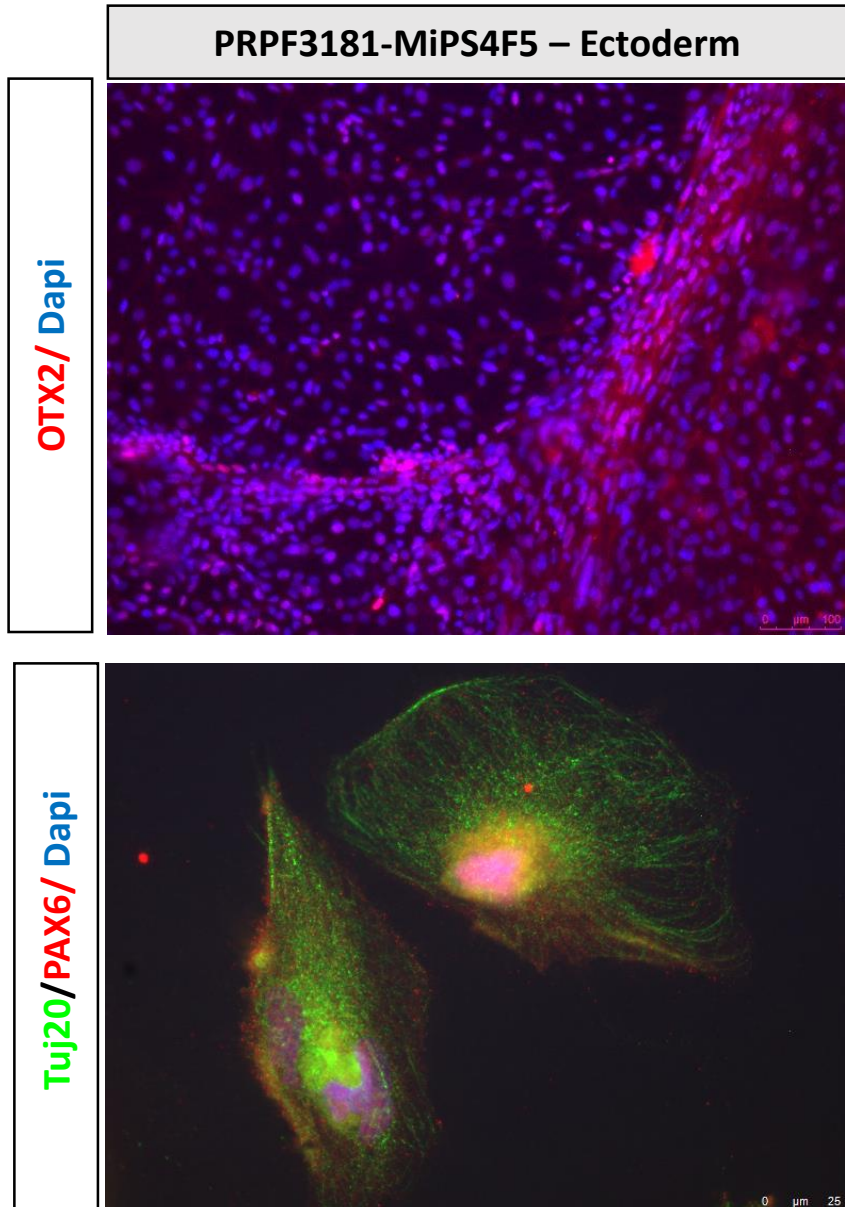
In vitro differentiation: IF of markers of three germ layers in embryoid bodies: endoderm, Islet-1; ; Ectoderm, Tuj20; ; Mesoderm, SMA, smooth muscle actin.



## ANEXO 9

Diferenciación *in vitro*: inmunofluorescencia de marcadores de las tres capas embrionarias en cuerpos embrionarios: Ectodermo, PAX6, Paired box protein Pax-6 tu20 y OTX2

In vitro differentiation: IF of markers of three germ layers in embryoid bodies: endoderm, Islet-1, Ectoderm, Tuj20,; Mesoderm, SMA, smooth muscle actin.



## **ANEXO 10**

### **Control Micoplasma**

**Detección de Micoplasma mediante: Rapid Mycoplasma Detection Kit (MORV0011) Assay Genie**

